

# Электронная структура и магнитные свойства соединений класса PuM<sub>2</sub>Ga<sub>5</sub> в рамках метода LDA+U+SO

А. В. Лукоянов<sup>1)</sup>, А. О. Шориков, В. И. Анисимов, В. В. Дремов<sup>+</sup>

Институт физики металлов УрО РАН, 620990 Екатеринбург, Россия

Уральский федеральный университет, 620002 Екатеринбург, Россия

<sup>+</sup> Российский федеральный ядерный центр

Всероссийский научно-исследовательский институт технической физики им. Забабахина, 456770 Снежинск, Россия

Поступила в редакцию 1 августа 2012 г.

После переработки 22 августа 2012 г.

Проведено исследование электронной структуры и магнитных свойств соединений PuM<sub>2</sub>Ga<sub>5</sub> (M = Co, Fe, Ni, Rh, Ir) в рамках метода LDA+U+SO, учитывающего как сильные электрон-электронные корреляции, так и спин-орбитальное взаимодействие в 5f-оболочке актиноидного металла. Рассмотрены особенности электронной структуры, типа связи, электронной конфигурации и магнитного состояния иона плутония в зависимости от типа переходного металла в PuM<sub>2</sub>Ga<sub>5</sub>. Полученные оценки эффективного магнитного момента иона плутония хорошо согласуются с известными экспериментальными значениями. Показано, что заселенность d-состояний переходного металла коррелирует с появлением сверхпроводимости в соединениях данного класса, обеспечивая режим оптимального легирования в электронной подсистеме.

**1. Введение.** Открытие в 2002 г. сверхпроводимости в соединении PuCoGa<sub>5</sub> с рекордной для соединений f-элементов критической температурой 18.5 К [1], а позднее ее обнаружение и в ряде соединений – структурных аналогов подняло множество интересных вопросов, имеющих отношение к физике конденсированного состояния вещества [2]. Каков механизм сверхпроводимости в соединениях с 5f-электронами? Какие группы электронов непосредственно участвуют в сверхпроводимости? Таким образом наличие магнитных моментов оказывает влияние на сверхпроводимость? Существует предположение о том, что сверхпроводимость в PuCoGa<sub>5</sub> имеет тип d-волны [2] как результат необычных электронных свойств системы. В силу этого данная система должна занимать промежуточное место между двумя классами сверхпроводников со спин-флуктуационным механизмом сверхпроводимости: известными сверхпроводниками с тяжелыми фермионами и высокотемпературными купратными сверхпроводниками [3]. Сам факт, что критическая температура перехода в сверхпроводящее состояние ( $T_c = 18.5$  К) для PuCoGa<sub>5</sub> (для PuRhGa<sub>5</sub>  $T_c = 8.5$  К [4]) на порядок больше  $T_c$  для систем с тяжелыми фермионами, например на основе урана, свидетельствует об ином механизме сверхпроводи-

мости в PuM<sub>2</sub>Ga<sub>5</sub> и присущих ему особенностях электронной структуры.

Исследование сверхпроводимости в данном классе соединений было продолжено изучением легированного материала Pu(Co<sub>x</sub>M<sub>1-x</sub>)Ga<sub>5</sub> с различными концентрациями переходных металлов, в частности соседей Со по 3d-группе – железа и никеля [5]. Результаты экспериментального измерения магнитной восприимчивости этих соединений свидетельствуют о сверхпроводимости до 13.5, 10.0 и 16.4 К для 10 и 20% Fe и 10% Ni соответственно [5]. Такое легирование существенно влияет на электронную структуру, в отличие от замещения кобальта родием, который является номинально изоэлектронным Со с семью электронами в d-оболочке. Замещение Со на 50 и 90% Rh понижает критическую температуру перехода в сверхпроводящее состояние до 15.5 и 10.2 К [2] соответственно. При этом оба соединения, PuCoGa<sub>5</sub> и PuRhGa<sub>5</sub>, являются сверхпроводниками.

Для понимания механизма сверхпроводимости в классе 115 наряду со сверхпроводником PuRhGa<sub>5</sub> представляется важным изучение соединения PuIrGa<sub>5</sub> по следующей причине. Поскольку Ir 5d<sup>7</sup> является изоэлектронным аналогом ионов Со и Rh, то ожидается, что в интерметаллиде PuIrGa<sub>5</sub> также должна возникать сверхпроводимость. Однако эксперименты, проведенные даже с приложением давления, не обнаружили никаких признаков сверхпроводимости в PuIrGa<sub>5</sub> вплоть до 1.4 К [6].

<sup>1)</sup> e-mail: lukoyanov@imp.uran.ru

Из экспериментальных данных также известно, что в соединениях класса 115 необычные магнитные свойства и особенности электронной структуры связаны с наличием сильных кулоновских корреляций в  $5f$ -зоне [2]. Это подтверждается большими значениями коэффициента удельной теплоемкости:  $\gamma = 80 \text{ мДж}/(\text{моль}\cdot\text{К}^2)$  для  $\text{PuCoGa}_5$ ,  $195 \text{ мДж}/(\text{моль}\cdot\text{К}^2)$  для  $\text{PuNiGa}_5$  и  $150 \text{ мДж}/(\text{моль}\cdot\text{К}^2)$  для  $\text{PuRhGa}_5$  [5]. Но влияние на электронную структуру оказывают не только сильные кулоновские корреляции. Спин-орбитальное взаимодействие (СОВ) в соединениях 115 имеет величину порядка обменного взаимодействия. Поэтому магнитное состояние системы определяется конкуренцией этих взаимодействий. Кроме того, в этих соединениях реализуется не стандартный тип связи ( $jj$  или  $LS$ ), а промежуточный [7].

В данной работе исследуются особенности строения электронной структуры и магнитного состояния изоструктурных соединений класса  $\text{PuMGa}_5$ , в которых сверхпроводимость обнаружена при температурах до  $18.5 \text{ К}$ . Проводится сравнение с соединением  $\text{PuIrGa}_5$ , в котором сверхпроводимости не обнаружено.

**2. Методы исследования.** В данной работе применялся метод LDA+U+SO [7], в котором последовательно учитываются кулоновское взаимодействие и СОВ и задача решается в полной матричной форме. Данный метод расчета позволил получить корректное немагнитное решение для чистого металлического плутония [7], а также величины магнитных моментов для целого ряда соединений плутония в хорошем согласии с экспериментом. В работе [8] метод LDA+U+SO применялся для исследования спектральных свойств нескольких актиноидных металлов под давлением. В данной работе расчеты проведены для соединений класса  $\text{PuMGa}_5$  в тетрагональной структуре  $P4/mmm$  [1]. Учитывались сильные электронные корреляции для  $5f$ -оболочки плутония. Для учета сильного электрон-электронного взаимодействия использовались значения параметров прямого ( $U$ ) и обменного ( $J_H$ ) кулоновского взаимодействия, вычисленные с помощью процедуры сверхячейки [9]. Вычисленные значения параметров прямого кулоновского взаимодействия  $U$  составили  $4.09$  и  $3.99 \text{ эВ}$  для соединений  $\text{PuNiGa}_5$  и  $\text{PuFeGa}_5$  соответственно. Параметр обменного взаимодействия был рассчитан как  $J_H = 0.48 \text{ эВ}$  для обоих соединений. В результате для  $\text{PuCoGa}_5$  и  $\text{PuIrGa}_5$  использовались близкие значения параметров прямого ( $U = 4 \text{ эВ}$ ) и обменного ( $J_H = 0.48 \text{ эВ}$ ) кулоновского взаимодействия.

Анализ электронной конфигурации и близости типа связи к  $jj$ - или  $LS$ -связи иона плутония произошелся на основе рассчитанных величин спина ( $S$ ), а также орбитального ( $L$ ) и полного ( $J$ ) моментов  $5f$ -оболочки иона плутония следующим образом [7]. Поскольку величина полного момента одинакова в обоих случаях чистой связи,  $jj$  и  $LS$  ( $J = 0$  для  $f^6$  и  $J = 5/2$  для  $f^5$ ), конфигурацию иона плутония в соединении можно представить как смешанное состояние  $(1 - x)f^6 + xf^5$ , где  $x = J/2.5$ . Для конфигурации  $f^6$  величины  $S$  и  $L$  равны нулю в схеме связи  $jj$  и 3 в схеме связи  $LS$ . Для конфигурации  $f^5$  они составляют  $S = 5/14$ ,  $L = 20/7$  и  $S = 5/2$ ,  $L = 5$  соответственно. Далее, схема промежуточной связи упрощенно представляется как смесь вклада  $jj$ -связи с весом  $y$  и  $LS$ -связи с весом  $1 - y$ . Отсюда получаем соотношения

$$L = x[(20/7)y + 5(1 - y)] + (1 - x)[0y + 3(1 - y)],$$

$$S = x[(5/14)y + (5/2)(1 - y)] + (1 - x)[0y + 3(1 - y)].$$

С использованием величин  $L$  и  $S$ , рассчитанных в рамках метода LDA+U+SO, приведенные соотношения позволяют определить величину  $y$ , тем самым оценив преобладание одного из двух видов связи. Получаемые оценки позволяют вычислить величину эффективного парамагнитного момента из зависимости магнитной восприимчивости, подчиняющейся закону Кюри–Вейса, как  $\mu_{\text{eff}} = g\sqrt{[J(J+1)]}\mu_B$ , где фактор Ланде  $g$  для конфигурации  $f^5$  составляет в схеме  $jj$ -связи  $g_{jj} = 6/7$ , а в схеме  $LS$ -связи  $g_{LS} = 2/7$ .

**3. Полученные результаты.** Полные и парциальные плотности состояний соединений  $\text{PuFeGa}_5$ ,  $\text{PuCoGa}_5$  и  $\text{PuNiGa}_5$ , полученные в рамках метода LDA+U+SO, приведены на рис. 1. В целом состояния всех ионов соединения сильно гибридизованы. Это приводит к изменению электронной структуры при замене иона переходного металла. Расчеты электронной структуры  $\text{PuFeGa}_5$  показывают, что большой вклад в плотность электронных состояний на уровне Ферми дают  $3d$ -состояния Fe. В случае кобальта и никеля  $3d$ -зоны переходных металлов заполнены сильнее и располагаются ниже по энергии, давая меньший вклад в плотность состояний на уровне Ферми. Таким образом, парциальные плотности  $3d$ -состояний  $\text{PuNiGa}_5$  (нижняя панель рис. 1) располагаются в виде полосы на энергиях от  $-3$  до  $-1 \text{ эВ}$  и слабо представлены вблизи энергии Ферми. В то же время электронные состояния Со и Ga на уровне Ферми в  $\text{PuCoGa}_5$  примерно одинаковы. Из графиков видно, что учет кулоновского взаимодействия приводит к увеличению расстояния между центрами

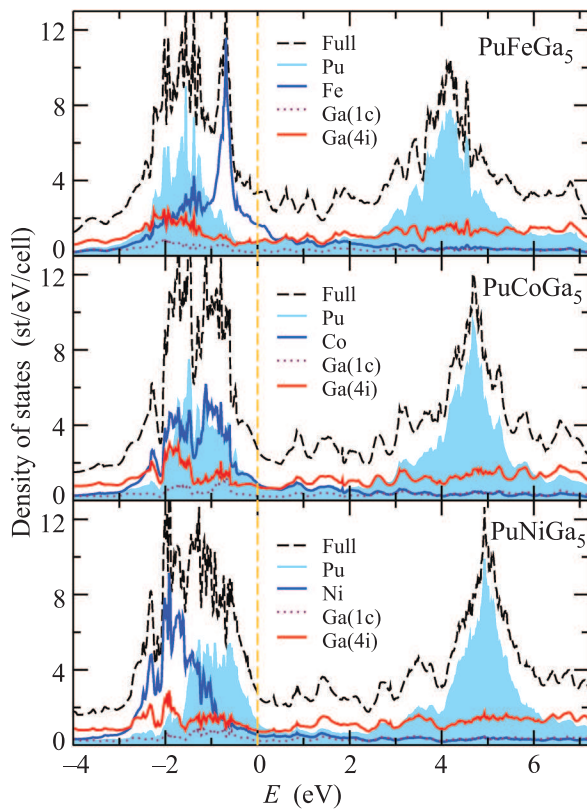


Рис. 1. Полная и парциальные плотности электронных состояний PuFeGa<sub>5</sub>, PuCoGa<sub>5</sub> и PuNiGa<sub>5</sub>, вычисленные методом LDA+U+SO. Парциальные состояния иона на плутония затемнены. Энергия Ферми соответствует нулю энергии

тяжести подзон  $j = 7/2$  и  $5/2$   $5f$ -состояний плутония до величины 6–7 эВ. При этом полная плотность состояний на уровне Ферми уменьшается, что приводит к увеличению вкладов от электронных состояний Ga и  $d$ -металла на уровне Ферми.

Электронная структура (полная и парциальные плотности состояний, вычисленные методом LDA+U+SO) соединений PuRhGa<sub>5</sub> и PuIrGa<sub>5</sub> представлена на рис. 2. Как видно из рисунка, значение полной плотности электронных состояний на уровне Ферми для PuRhGa<sub>5</sub> и PuIrGa<sub>5</sub> примерно равно этой величине для PuCoGa<sub>5</sub>. При этом основные плотности электронных  $d$ -состояний располагаются от –4 до –2 эВ, что также приводит к смещению плотности электронных состояний ионов Ga в область более низких энергий вследствие гибридизации.

Вычисленные с помощью метода LDA+U+SO электронные конфигурации соединений Pu 115 представлены в таблице. Расчеты методом LDA+U+SO для PuCoGa<sub>5</sub> показали небольшое значение полного момента ( $J = 0.29$ ) для иона плутония. Эффектив-

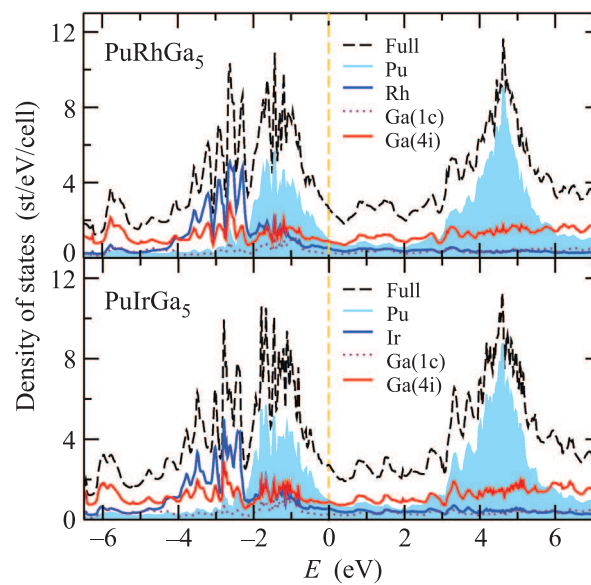


Рис. 2. Полная и парциальные плотности электронных состояний PuRhGa<sub>5</sub> и PuIrGa<sub>5</sub>, вычисленные методом LDA+U+SO. Парциальные состояния иона плутония затемнены. Энергия Ферми соответствует нулю энергии

ный магнитный момент в соединении PuCoGa<sub>5</sub>, вычисленный из закона Кюри–Вейса, в предположении чистой  $jj$ - и  $LS$ -связи (используя соответствующие значения фактора Ланде:  $g_{jj} = 6/7$  и  $g_{LS} = 2/7$ ) можно оценить как  $0.52\mu_B$  и  $0.38\mu_B$ . Это согласуется с экспериментальным значением  $0.68\mu_B$  [1] с учетом неопределенности промежуточного типа связи. Анализ матрицы заселенности  $5f$ -состояний Ри показал, что электронная конфигурация близка к  $f^6$  (88%), а тип связи в  $5f$ -оболочке Ри можно определить как промежуточный с небольшим преобладанием  $jj$ -типа (60%). Это подтверждается для всех соединений и анализом матриц заселенности. В них наибольшие значения недиагональных элементов в базисах  $LS$ - и  $jj$ -связи достаточно велики и сопоставимы по величине. Это также свидетельствует о промежуточном типе связи, реализующемся в данных соединениях.

Для PuNiGa<sub>5</sub> в результате расчета были получены значения спина, орбитального и полного моментов ( $S = 1.17$ ,  $L = 1.39$  и  $J = 0.22$ ), чуть меньшие, чем для PuCoGa<sub>5</sub>. Электронная конфигурация иона плутония в PuNiGa<sub>5</sub> – практически чистая (91%)  $f^6$ -конфигурация. Эффективный магнитный момент в соединении PuNiGa<sub>5</sub>, вычисленный из закона Кюри–Вейса, можно оценить в предположении чистой  $jj$ - и  $LS$ -связи как  $0.50\mu_B$  и  $0.16\mu_B$ . Поскольку в PuNiGa<sub>5</sub> реализуется промежуточный тип связи, первое зна-

**Результаты расчетов магнитного состояния ионов плутония (спина  $S$ , орбитального ( $L$ ) и полного ( $J$ ) моментов), анализ электронных конфигураций и типа связи ( $jj$  и  $LS$ ) и заселенность  $d$  состояний переходного металла в соединениях  $\text{PuMGa}_5$  ( $M = \text{Co}, \text{Fe}, \text{Ni}, \text{Rh}, \text{Ir}$ )**

Соединение	$S$	$L$	$J$	$f^5, \%$	$f^6, \%$	$jj, \%$	$LS, \%$	$n(d)$
PuFeGa <sub>5</sub>	1.02	1.23	0.21	9	91	66	34	6.82
PuCoGa <sub>5</sub>	1.21	1.50	0.29	12	88	60	40	7.80
PuNiGa <sub>5</sub>	1.17	1.39	0.22	9	91	61	39	8.72
PuRhGa <sub>5</sub>	1.33	1.73	0.40	16	84	56	44	7.62
PuIrGa <sub>5</sub>	1.33	1.74	0.41	17	83	55	45	7.31

чение момента близко к нижней оценке его экспериментального значения,  $(0.74 \pm 0.20)\mu_B$  [2].

Для соединения PuFeGa<sub>5</sub> в результате расчета были получены следующие значения спина, орбитального и полного моментов:  $S = 1.02$ ,  $L = 1.23$  и  $J = 0.21$ . Анализ матрицы заселенности 5f-оболочки Pu показал, что здесь электронная конфигурация – практически чистая (91%)  $f^6$ , а тип связи в 5f-оболочке Pu можно определить как промежуточный с более сильным  $jj$ -характером. Магнитный момент в соединении PuFeGa<sub>5</sub>, оцененный из закона Кюри–Вейса, в предположении чистой  $jj$ - и  $LS$ -связи с соответствующими значениями фактора Ланде составил  $0.44\mu_B$  и  $0.15\mu_B$  соответственно.

Рассчитанная методом LDA+U+SO заселенность 5f-оболочки ионов плутония во всех рассмотренных соединениях плутония оказалась одинаковой. Она составила 5.7 электрона. Таким образом, магнитное состояние ионов плутония в PuFeGa<sub>5</sub>, PuCoGa<sub>5</sub> и PuNiGa<sub>5</sub> изменяется незначительно. В то же время заселенность 3d-оболочки переходного металла сильно зависит от его типа, как это видно из величин заселенности, приведенных в последнем столбце таблицы. Поскольку в приведенных экспериментах сверхпроводимость сохраняется в PuCoGa<sub>5</sub> до 10% легирования никелем и 20% – железом, можно качественно оценить величину оптимального числа d-электронов переходного металла. В случае сверхпроводника PuCoGa<sub>5</sub> заселенность 3d-оболочки кобальта составляет 7.80 электронов. Тогда для случая 10% легирования никелем состав Pu(Co<sub>0.9</sub>Ni<sub>0.1</sub>)Ga<sub>5</sub> должен характеризоваться заселенностью 3d электронной подсистемы 7.89 электронов, а для соединения с 20-процентным замещением железом, Pu(Co<sub>0.8</sub>Fe<sub>0.2</sub>)Ga<sub>5</sub>, заселенность составит 7.60 электронов. Вероятно, указанные величины составляют интервал значений заселенности 3d-подсистемы, который характеризует оптимальный уровень легирования для появления сверхпроводимости.

Для PuRhGa<sub>5</sub> магнитная конфигурация иона плутония незначительно отличается от рассмотренных

выше PuCoGa<sub>5</sub>, PuNiGa<sub>5</sub> и PuFeGa<sub>5</sub>. В этом случае величины спина, орбитального и полного моментов составили  $S = 1.33$ ,  $L = 1.73$  и  $J = 0.40$ . Электронная конфигурация иона плутония в PuRhGa<sub>5</sub> – с преобладанием (84%)  $f^6$ -конфигурации. Эффективный магнитный момент в соединении PuRhGa<sub>5</sub> в предположении  $jj$ - и  $LS$ -связи составил  $0.65\mu_B$  и  $0.22\mu_B$ . Экспериментальное значение  $0.6\mu_B$  [4] близко к оценке эффективного магнитного момента для случая  $jj$ -связи. Это объясняется небольшим превалированием именно  $jj$ -типа в промежуточной связи электронов 5f-оболочки плутония в PuRhGa<sub>5</sub>. Заселенность 4d-оболочки родия в PuRhGa<sub>5</sub> составляет 7.62 электрона. Это близко к оцененному выше критическому значению заселенности для состава Pu(Co<sub>0.8</sub>Fe<sub>0.2</sub>)Ga<sub>5</sub>, однако согласуется с нашей оценкой.

Близкие значения моментов и электронной конфигурации ионов плутония со вкладом  $f^6$  на 83% и промежуточным типом связи были получены в расчетах методом LDA+U+SO и для PuIrGa<sub>5</sub>. Оценки эффективного магнитного момента в PuIrGa<sub>5</sub> в предположении чистой  $jj$ - и  $LS$ -связи дают  $0.66\mu_B$  и  $0.22\mu_B$  соответственно. Однако экспериментальные данные по величине магнитного момента в PuIrGa<sub>5</sub> в литературе не сообщаются. Заселенность 5d-оболочки иридия меньше, чем заселенность оболочки иона родия и эффективного состава Pu(Co<sub>0.8</sub>Fe<sub>0.2</sub>)Ga<sub>5</sub>, что соответствует случаю недостаточного легирования. Таким образом, предложенная выше оценка оптимального числа d-электронов в соединении PuIrGa<sub>5</sub> не выполняется. Причиной меньшей заселенности 5d-состояний иридия может быть изменение характера гибридизации состояний по сравнению с остальными соединениями серии из-за отличия параметров кристаллической структуры.

**4. Выводы.** В данной работе проведено исследование электронной структуры и магнитных свойств соединений PuMGa<sub>5</sub> ( $M = \text{Co}, \text{Fe}, \text{Ni}, \text{Rh}, \text{Ir}$ ) в рамках метода LDA+U+SO. Проведенные расчеты показывают, что магнитные свойства иона плутония

в рассмотренных соединениях класса 115 близки и слабо зависят от типа переходного металла: все исследованные соединения имеют смешанный тип связи, электронную конфигурацию, близкую к  $f^6$ , и небольшую величину эффективного момента. Вычисленные величины эффективного магнитного момента иона плутония хорошо согласуются с известными экспериментальными значениями с учетом преобладания  $jj$ -типа связи. В то же время заселенность  $d$ -состояний переходного металла коррелирует с появлением сверхпроводимости в соединениях данного класса, обеспечивая режим оптимального легирования в электронной подсистеме.

Данная работа выполнена при частичной поддержке гранта Министерства образования и науки и проекта # 12-2-004-ЯЦ УрО РАН.

1. J. L. Sarrao, L. A. Morales, J. D. Thompson et al., *Nature* **420**, 297 (2002).
2. C. Pfleiderer, *Rev. Mod. Phys.* **81**, 1551 (2009).
3. N. J. Curro, T. Caldwell, E. D. Bauer et al., *Nature* **434**, 622 (2005).
4. F. Wastin, P. Boulet, J. Rebizant et al., *J. Phys.: Condens. Matter* **15**, S2279 (2003).
5. P. Boulet, E. Colineau, F. Wastin et al., *Phys. Rev. B* **72**, 104508 (2005).
6. J.-C. Griveau, P. Boulet, E. Colineau et al., *Physica B: Condensed Matter* **359–361**, 1093 (2005).
7. A. O. Shorikov, A. V. Lukoyanov, M. A. Korotin, and V. I. Anisimov, *Phys. Rev. B* **72**, 024458 (2005).
8. A. V. Lukoyanov, A. O. Shorikov, V. B. Bystrushkin et al., *J. Phys.: Condens. Matter* **22**, 495501 (2010).
9. V. I. Anisimov and O. Gunnarsson, *Phys. Rev. B* **43**, 7570 (1991).